

ACADEMIA ROMÂNĂ
FILIALA TIMIȘOARA

ZILELE ACADEMICE TIMIȘENE

**Ediția a VIII-a
22-23 mai 2003**

TIMIȘOARA, ROMÂNIA
Simpozion

**MATERIALE, ELEMENTE ȘI STRUCTURI
COMPOZITE PENTRU CONSTRUCȚII
PREZENT ȘI PERSPECTIVE**



Editor: Corneliu BOB

**Publicat de Editura MIRTON
Timișoara 2003**

STUDIU PRIVIND DIAGNOSTICAREA SI PROGNOZAREA STARII TEHNICE A UNOR ELEMENTE DIN BETON ARMAT

A STUDY ON THE DIAGNOSIS AND PROGNOSIS OF THE TECHNICAL STATE OF SOME REINFORCED CONCRETE ELEMENTS

Prof. Rapisca – s.l. dr. ing. UNIV. "TRANSILVANIA" BRASOV, FAC. de CONSTRUCTII
Prof. Tuns – s.l. dr. ing. UNIV. "TRANSILVANIA" BRASOV, FAC. de CONSTRUCTII

ABSTRACT. This work is an extensive study on the investigation in situ of some structural elements. This study has been executed on a number of 10 structural elements (columns and beams) in sections of production at S.C.C.C.H. Zarnesti S.A., namely BOILING and WHITENING α.

We present the data regarding the laboratory research in situ and on the test tubes drawn from the structural elements mentioned above, both for the concrete and for the reinforcement.

We present the measurement realized for the determination of the concentrations of aggressive and of the alkalinity of the concrete.

The results obtained showed the level of contamination of the concrete and the degree of corrosion of the reinforcement so that we could determine the reduction of the duration of exploitation and the degree of reduction of the reinforcement resistance; these elements permitted the conclusion concerning the prognosis of the technical state of the structure in general.

1. INTRODUCERE

Diagnosticarea respectiv precizarea starii si nivelului de deteriorare s-a realizat la S.C.C.C.H. ZARNESTI S.A. la sectiile de "FIERBERE", si "ALBITORIE α".

S-au ales aceste sectii pentru a se face diagnosticarea si prognozarea starii tehnice a elementelor de beton armat dupa metoda propusa, pentru ca sunt sectii reprezentative si caracteristice in cadrul procesului de fabricatie al celulozei, sunt cladiri cu un grad mare de expozitie la agresivitate chimica, prezintand din acest punct de vedere un factor de risc ridicat pentru intreg sectorul de celuloza si hartie.

Sectia Fierbatorie este o structura in cadre pe patru nivele prezentate in schema urmatoara (fig. C1).

Fig. 1 Sectie Fierbatorie, plan cota $\pm 0,00$

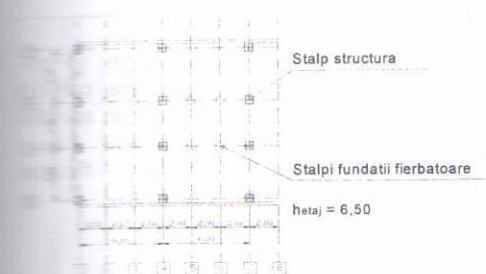


Fig. 3 Stalpi C1, C2, C3, B3
— sectiune si armare.

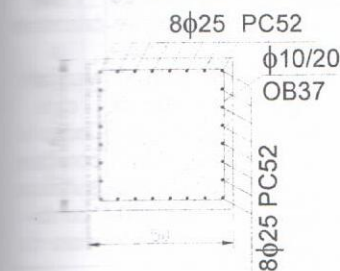


Fig. 2 Sectie Albitorie, plan cota +13,50



Fig. 4 Grinzi B2-3, si C2-3— sectiune si armare

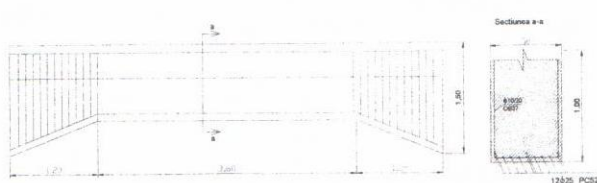


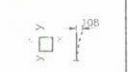
Fig. 5 Analiza documentației tehnice și a condițiilor de exploatare la obiectivele Fierbatorie Albitorie α C.C.H. ZARNESTI S.A.

Obiectivul	Elementul	Tipul	Nivel	Sectiuni	Armare	Informatii din expoatare	Starea tehnica a utilajelor și instalațiilor
Fierbătorie	stâlp	A1	+0,00	80X80 cm	OB38, φ36 OB38, φ8/30	Actiune coroziva de tip sulfatic în preponderenta combinată și cu prezența ionilor de clor.	Utilaje cu uzură fizică și morală foarte mare. Instalațiile tehnologice învecinate în funcțiune de cca.70, fapt ce generează pierderi și surgeri intense de produse chimice hidratante care acionează în mod direct asupra straturilor de beton armat ale halelor.
	stâlp	A4	+0,00	80X80 cm	OB38, φ36 OB38, φ8/30		
	stâlp	A7	+0,00	80X80 cm	OB38, φ36 OB38, φ8/30		
	stâlp	A8	+0,00	50X55 cm	OB38, φ20 OB38, φ8/20		
Albitoria α	stâlp	C1	+13,50	50X50 cm	PC52, φ25 OB37, φ10/20	Actiune coroziva intensă specifică atacului cu ioni negativi de clor. Temperatura ridicată, umiditate ridicată	
	stâlp	C2	+13,50	50X50 cm	PC52, φ25 OB37, φ10/20		
	stâlp	C3	+13,50	50X50 cm	PC52, φ25 OB37, φ10/20		
	stâlp	B3	+13,50	50X50 cm	PC52, φ25 OB37, φ10/20		
	grindă	B2-3	+18,50	50x 100 cm, 50x150 cm	PC52, φ25 OB37, φ10/20		
	grindă	C2-3	+18,50	50x 100 cm, 50x150 cm	PC52, φ25 OB37, φ10/20		

Fig. 6

3) Investigarea stării de degradare

a) direct pe elementul cercetat(l) determinări simple în sistem

Rezultatele cercetării							
Obiectivul	Structură	Ax	α)Caracteristici geometrice reale și modificări apărute prin reabilitări efectuate pe parcurs	β)Starea de deformare a elementului natură și gravitatea acestuia	γ)Caracteristici mecanice ale betonului în profunzime, stabilite prin încercări nedistructive	δ)Confecții metalice atașate sau înglobate în beton. Efectuarea de spargeri sau reparări ne-inspirate (găuri, prezența ipsosului)	ε)Defecțiuni ascunse ale betonului și armăturii (segregări, caverne, fisuri etc.)
Fierbătorie	SA1	80X80 cm	Abateri de la verticală pe X cu 108mm	16,8 N/mm ² 	Nu s-au identificat	Segregari la baza, fisuri verticale și orizontale	Betonul de aco-perire a fost reabilitat ne-uniform iar prescripțiile de proiectare nu sunt respectate
	SA4	80X80 cm	Nu are	17,9 N/mm ²	Nu s-au identificat	Nu se constată segregări	Fisuri orizontale și verticale care indică corodare sulfatica combinată
	SA7	80X80 cm	Nu are	14,8 N/mm ²	Nu s-au identificat	Segregari în treimea superioară	

7-69

3) Învestigarea stării de degradare
a) direct pe elementul cecretat
b) evaluări prin prelevere de probe

d. solutie	d. solutie	d. solutie	d. solutie	d. solutie	d. solutie	d. solutie	d. solutie	d. solutie	d. solutie																																																																						
S8	50X55 cm	Abatere de la verticala pe y cu corozinile de color	17,4 N/m ²	ceau la rezilizarea si acoperirea orizontuala	Nu-s-au identificat	17,4 N/m ²	la verticala pe y cu corozinile de color	SC1	50X50 cm	Nu are	14,3 N/m ²	Datorita imprefer- abilor pe localele segregari	Nu-s-au identificat	14,3 N/m ²	Abatere de la verticala	SC2	50X50 cm	Nu are	15,4 N/m ²	desecat de au initial-nit lungul alei in longitudinii Fisuri	Nu-s-au identificat	15,4 N/m ²	la verticala desecat de au initial-nit lungul alei in longitudinii Fisuri	SC3	50X50 cm	Nu are	13,5 N/m ²	cm, -s-au lipsa pe anumite portunii si ale a cu ionii negativi corozinile n coordonate a cu ionii negativi turior. La strat de elementele haotice Fisuri	Nu-s-au identificat	14,6 N/m ²	Dimensiunii imai mari structur- de color	SB3	50X50 cm	Nu are	14,6 N/m ²	cm, -s-au lipsa pe anumite portunii si ale a cu ionii negativi corozinile n coordonate a cu ionii negativi turior. La strat de elementele haotice Fisuri	Nu-s-au identificat	14,2 N/m ²	b = 55 cm Sagelata	3B2-	50X100 (150)	Fisuri	~ 86 mm	Strat de elementele haotice Fisuri	Nu-s-au identificat	14,2 N/m ²	b = 55 cm Sagelata	3	50X100 (150)	Fisuri	~ 86 mm	Strat de elementele haotice Fisuri	Nu-s-au identificat	14,2 N/m ²	b = 55 cm Sagelata	3C2-	50X100 (150)	Fisuri	~ 98 mm	Prin coro- za in tota- litatea datelor deschis- cu era expul- sionare acceptare cu	Nu-s-au identificat	15,6 N/m ²	Sagelata	3C2-	50X100 (150)	Fisuri	~ 98 mm	Prin coro- za in tota- litatea datelor deschis- cu era expul- sionare acceptare cu	Nu-s-au identificat	15,6 N/m ²	Sagelata	3	50X100 (150)	Fisuri	~ 98 mm	Prin coro- za in tota- litatea datelor deschis- cu era expul- sionare acceptare cu	Nu-s-au identificat	15,6 N/m ²	Sagelata

Albitoarie α	+13,50	1,5 cm		$\text{Cl}^- \text{ mg/dm}^3 > 6000$	Carota $\phi 10 \text{ cm}$ $L=10 \text{ cm}$
	+13,50	1,8 cm	Carota $\phi 10 \text{ cm}$ $L=10 \text{ cm}$		
	+13,50	2,2 cm	Carota $\phi 10 \text{ cm}$ $L=10 \text{ cm}$		
	+13,50	2,5 cm	Carota $\phi 10 \text{ cm}$ $L=10 \text{ cm}$		
	+18,50	2,5 cm		$\text{Cl}^- \text{ mg/dm}^3 > 6000$	Carota $\phi 10 \text{ cm}$ $L=10 \text{ cm}$
	+18,50	2,6 cm			Carota $\phi 10 \text{ cm}$ $L=10 \text{ cm}$

Fig. 8
3) Investigarea stării de degradare
b) determinări de laborator

Obiectivul	Nivel	Rezultatele cercetării									
		I) Încercări fizico-mecanice ale betonului			II) Determinarea alcalinității betonului		III) Determinarea concentrației ionilor gresivi în beton		IV) Determinarea unor caracteristici fizico-chimice ale betonului		V) Evaluarea stării de degradare a armăturii
		$\alpha)$ N/mm ²	$\beta)$ N/mm ²	Media N/mm ²	K _{i1}	K _c	K _{h1}	γ [g/cm ³]	Com- pac- tate	Porozi- tate	
Fierbatorie	+0,00	16,8	18,7	17,75	mg/dm ³ Se consideră K _{i1} = 1, K _c = 1 K _{h1} = 1, 1 K _t = 1 pentru ambele sectii s-a calculat agresivitatea de dezalcalini- zare = 130 beton agresat de solutiile de dezalcalini- zare	SO ₄ ⁻² = 4570 mg/dm ³	2359	94,3 %	5,7 %	24,8 daN/mm ²	
	+0,00	17,9	15,3	16,60			2350	93,4 %	6,6 %	23,2daN/mm ²	
	+0,00	14,8	15,7	15,25			2343	92,9 %	7,1 %	22,3daN/mm ²	
	+0,00	17,4	20,1	18,75			2361	94,7 %	5,3 %	25,9 daN/mm ²	
Albitoarie α	+13,50	14,3	13,6	13,90		Cl ⁻ = 2180 mg/dm ³	2331	93,1 %	6,9 %	34,8daN/mm ²	
	+13,50	15,4	12,8	14,10			2370	93,3 %	6,7 %	37,3daN/mm ²	
	+13,50	13,5	14,8	14,95			2366	92,9 %	7,1 %	38,4 daN/mm ²	
	+13,50	14,6	15,3	14,90			2340	94 %	6,0 %	33,5 daN/mm ²	
	+18,50	14,2	12,3	13,25			2326	91,3 %	8,7 %	29,6 daN/mm ²	
	+18,50	15,6	16,4	16,00			2358	94,2 %	5,8 %	32,6 daN/mm ²	

Fig. 9

4) Criterii de apreciere a durabilității
a) stadiul de dezalcalinizare al betonului

ϕ -diametrul armăturii

a -acoperirea cu beton

v -viteza de dezvoltare a coroziunii

Element Structural Δv	Nivel	I) Adâncimea de dezalcalinizare a betonului determinată analitic [mm]						Adâncimea de dezalcalinizare determinată experimental h_{Dez} mm	Factor de corecție δ_{Dez} %	II) Perioada de dezalcalinizare a stratului de acoperire			Valoare corectată a duratei de dezalcalinizare t_{cor} [ani]	III) Timpul suplimentar de carbonatare al betonului t_{sup} [ani]		
		R_b N/mm ²	c	k	d	t ani	H_{dez} mm			a mm	t_0 ani	t_{Dez} ani		Φ mm	V_c mm/a ni	T_{sup} ani
S41	+0,00	17,75	1,00	1,00	1,00	40	56	120	25	50			32,0	15/an		
S44	+0,00	16,60	1,00	1,00	1,00	40	48	120	25	50			32,5			
S47	+0,00	15,25	1,00	1,00	1,00	40	41	120	25	50			31,9			
S48	+0,00	18,75	1,00	1,00	1,00	40	59	120	25	50						
SC1	+13,5	13,90	1,10	1,00	0,95	28	35	96	25	35			20,0	12/an		
SC2	+13,5	14,10	1,10	1,00	0,95	28	38	96	25	35			21,4			
SC3	+13,5	14,95	1,10	1,00	0,95	28	40	96	25	35			22,0			
SB3	+13,5	14,90	1,10	1,00	0,93	28	40	96	25	35			20,7			
SB2- a	+18,5	13,25	1,12	1,00	0,88	28	31	96	25	35			18,0			
SB2- 3	+18,5	16,00	1,14	1,00	0,84	28	47	96	25	35			19,1			

R_b -rezistența la compresiune a betonului

c -coeficient de influență a tipului de ciment

k -coeficient de influență al condițiilor de mediu

d -coeficient de influență al concentrației de $CO_2(Cl^-)$

t_0 -durata de acțiune a mediului agresiv

H_{dez} -valoarea adâncimii de dezalcalinizare stabilită experimental

δ_{Dez} -factor de corecție

t_{Dez} -durata de dezalcalinizare completă a stratului de acoperire calculată

t_{cor} -grosimea inițială a stratului de acoperire

t_{sup} -durata de exploatare a elementului

t_{sup} -valoarea corectată a duratei de dezalcalinizare

$$H_{dez} = \frac{150ckd}{R_b} \sqrt{t}; \quad t_{sup} = \frac{0,08a}{\Phi V_c}; \quad \delta_{Dez}\% = \frac{h_{Dez} - h_{dex}}{h_{dex}} * 100; \quad t_{Dez} = \left(\frac{a}{h_{Dez}} \right) t_0; \quad t_{cor} = \delta_{Dez} * t_{Dez}$$

Fig. 10

4) Criterii de apreciere a durabilității
d) gradul de degradare al armăturii

Obiectivul	Structură Ax	I) Gradul de reducere a secțiunii barelor (%)		II) a (mm)	III) Micșorarea duratei de exploatare Tex (ani)	IV) Gradul de reducere a rezistenței (%)			V) Gradul de reducere a alungirii din (%) coroziune		
		d ₀ (mm)	d _m (mm)			R _i N/mm ²	R _{ref} N/mm ²	ΔR% = (R _i - Ref) * 100 / R _i (%)	A ₀ (%)	Pr = A ₀ * K _A ^{co} / 100	K _A ^{al} * (K _C - %)
Fierbatorie	SA1	36	32,0	21	25	37	24,8	33,0 %	Avand în vedere punctul III nu mai este necesara analiza la punctul V		
	SA4	36	32,5	18	25	37	23,2	37,3 %			
	SA7	36	31,9	21	25	37	22,3	39,7 %			
	SA8	36	32,0	23	25	37	25,9	30,0 %			
Albitorie α	SC1	25	20,0	36	25	51	34,8	31,8 %			
	SC2	25	21,4	27	25	51	37,3	26,8 %			
	SC3	25	22,0	23	25	51	38,4	24,7 %			
	SB3	25	20,7	31	25	51	29,6	42,0 %			
	GB2-3	25	18,0	48	25	51	32,6	36,1 %			
	GC2-3	25	19,1	42	25	51	33,8	34,3 %			

d₀ - diametrul inițial al armăturii

d_m - diametrul mediu al armăturii corodate

K_A^{co} - gradul de reducere a secțiunii armăturii datorită coroziunii

a - grosimea stratului de acoperire cu beton

Tex - timpul mediu de exploatare, funcție de a și K_A^{co} (vezi fig. 5.8)

R_i - rezistența inițială de rupere prin întindere a armăturii

R_{ref} - rezistența efectivă de rupere prin întindere a armăturii

ΔR% - reducerea procentuală a rezistenței de rupere prin întindere

A₀ - valoarea normală a alungirii la rupere

K_A^{al} - gradul de reducere a alungirii armăturii la rupere datorită coroziunii

Din interpretarea rezultatelor se pot trage urmatoarele concluzii:

Datorita coroziunii armaturii, a distrugerii stratului de acoperire dar si a micsorarii diametrelor armaturii, s-a redus rezistența armaturilor cu pana la 42% fapt ce a determinat sistarea activitatii productive si intocmirea unor proiecte de consolidare a structurilor.

ASPECTE PRIVIND DURABILITATEA ARMATURILOR

ASPECTS REGRADING THE DURABILITY OF REINFORCED CONCRETE

Remu Rapisca - s. l. dr. ing. Uzun Tunc - s. l. dr. ing. Uzun

ABSTRACT. The paper presents the scalar method of evaluation of the durability of reinforced concrete structures. The corrosion of the reinforcement engenders problems due to the reduction of the concrete strength and the reinforcement.

By using the "scalar method" we can evaluate the durability of concrete structures by calculating the depth of the reinforcement.

We present the way of interpretation of the data.

1. INTRODUCERE

Întreținerea și prevenirea deteriorării permanente și foarte importante ale structurilor provocate de medii agresive este o problemă de durabilitate și siguranță în extensie și în special durată chimică în special dar și la altă durată. În cadrul lucrării se analizează durabilitatea structurilor de beton armat, acoperite cu straturi anticoroziive aplicate pe beton.

Interdependența, respectivă, a durabilității și a deteriorării unei structuri

Gradele de deteriorare

unei structuri

Fig. 1 Graficul raportului de durabilitate